

кость таких сцинтилляторов как NaI—Тl и CsI—Тl. Установленную зависимость световыхода от интегральной дефектности ВГО необходимо учитывать при анализе механизмов радиационного тушения радиолоуминесценции.

В заключение авторы благодарят Л. В. Викторова за помощь в эксперименте и А. А. Пузанова за поддержку в работе.

Л и т е р а т у р а

- [1] Weber M. J., Monchamp R. R. J. Appl. Phys., 1973, vol. 44, N 12, p. 5495—5499.
- [2] Викторов Л. В., Кружалов А. В., Кургин В. Ф. в др. ЖПС, 1984, т. 41, № 6, с. 925—929.
- [3] Каманин В. В., Куглер А., Соболев Ю. Г. Препринт ОИЯИ, 1986, № 13—86—375.
- [4] Bogh E. Canad. J. Phys., 1986, vol. 46, p. 653—659.
- [5] Newton C. S., Alexander R. B., Clark G. I. et al. Nucl. Instrum. and Methods, 1976, vol. 132, N 1—3, p. 213—218.

Уральский политехнический
институт им. С. М. Кирова
Свердловск

Поступило в Редакцию
23 февраля 1987 г.
В окончательной редакции
3 декабря 1987 г.

УДК 537.311.33

Физика твердого тела, том 30, в. 4, 1988
Solid State Physics, vol. 30, № 4, 1988

УПРАВЛЕНИЕ РАЗМЕРНОСТЬЮ ЭЛЕКТРОННОГО ГАЗА В СЛОИСТЫХ ПОЛУПРОВОДНИКАХ InSe С ПОМОЩЬЮ СВЕРХПРОВОДЯЩЕГО ИНТЕРКАЛЯНТА

А. И. Дмитриев, З. Д. Ковалюк, В. И. Лазоренко,
Г. В. Лашкарев, М. Н. Пырля, А. И. Середюк

В области температур $T < 10$ К электронный газ в слоистом полупроводнике InSe является двумерным. Об этом свидетельствуют: а) анализ резонансных [1] и осцилляционных [2, 3] явлений; б) качественное соответствие теории магнитосопротивления (МС) двумерного газа [4] и экспериментально исследованного нами отрицательного магнитосопротивления (ОМС), достигающего 40 %, с участками линейной зависимости $\delta\rho_{\perp c} \sim \ln H$ в слабых и сильных магнитных полях ($\delta\rho_{\perp c} = (\rho_H - \rho_0)\rho_0^{-1}$, $\mathbf{H} \perp c$), а также отсутствием ОМС при $\mathbf{H} \parallel c$.

Интеркаляция изменяет свойства монокристаллов слоистых полупроводников, причем внедрение в межслоевое пространство достаточно большого числа атомов сверхпроводящего металла, по-видимому, может радикальным образом преобразовать зонный спектр носителей тока. Целью настоящей работы является изучение влияния интеркаляции металлами на гальваноманнитные свойства слоистого полупроводника InSe в области криогенных температур.

Исследования осуществлялись на монокристаллах InSe, выращенных по методу Бриджмена. Интеркалирование проводилось по методике, описанной в [5]. Образцы имели форму параллелепипеда размерами $1 \times 2 \times 8$ мм, большая плоскость которых перпендикулярна оси c и получалась при скальвании в жидком азоте. Омические контакты формировались диффузией индия в вакууме. Концентрация электронов в исходном InSe составляла $(2-6) \cdot 10^{14}$ см⁻³. Измерения проводились в области температур 4.3—50 К в диапазоне магнитных полей до 4 Т.

Интеркаляция литием до его концентрации $10^{21}-10^{22}$ см⁻³ приводит к возрастанию удельного сопротивления при 4.3 К в плоскости слоев $\rho_{\perp c}$ и к несколько более резкой зависимости $\rho_{\perp c}(T)$ (рис. 1). Дополни-

ная интеркаляционная свинцом ($N_{Pb} \sim 10^{19} \text{ см}^{-3}$) сильно изменяет свойства образцов. Так, на температурной зависимости $\rho_{\perp c} = f(T)$ в области $\sim 9 \text{ K}$ наблюдается довольно резкая смена проводимости от полупроводниковой к металлической (рис. 1). При $T < 7 \text{ K}$ МС положительно, обнаруживает тенденцию к насыщению, достигая $\sim 40\%$ при 4.3 K (рис. 2). Величина МС при насыщении зависит от T .

Обозначим магнитное поле в точке перегиба $\delta\rho_{\perp c}(H)$ при выходе на насыщение — H_k . Зависимость $H_k(T)$ представляет собой прямую линию (рис. 3), которая пересекает ось температур при 7 K , что практически совпадает с температурой перехода свинца в сверхпроводящее состояние ($T_c = 7.2 \text{ K}$). При $T > 7 \text{ K}$ появляется ОМС, величина которого не превышает 3% . При дальнейшем росте температуры МС становится положительным, не обнаруживая тенденций к насыщению в поле до $3T$ и не превышает значений $\sim 10\%$. Зависимости

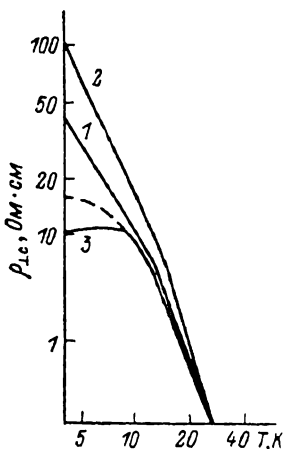


Рис. 1. Зависимость удельного сопротивления от температуры образцов InSe.

1 — неинтеркалированный, 2 — интеркалированный Li, 3 — Li и Pb. Штриховая линия — значения $\rho_{\perp c}$ при $H > H_k$ образца 3.

$H_k(T)$ и $\delta\rho_{\perp c}(H)$ не претерпевают изменений в пределах погрешности эксперимента и при $H \perp c$ ($T > 7 \text{ K}$).

Наблюдаемые особенности можно объяснить, если предположить, что свинец, находясь в межслоевом пространстве в виде скоплений [6, 7] со средней концентрацией в кристалле $\sim 10^{19} \text{ см}^{-3}$ при $T \leq 7 \text{ K}$, переходит в сверхпроводящее состояние. При этом электронный газ становится

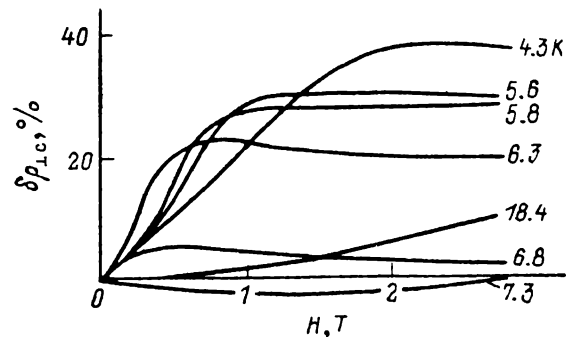


Рис. 2. Зависимости магнитосопротивления образца 3 от магнитного поля при различных температурах.

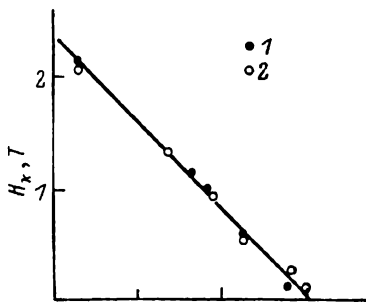


Рис. 3. Зависимость критического поля H_k от температуры образца 3. 1 — $H \perp c$, 2 — $H \parallel c$.

трехмерным. Последнее подтверждается независимостью H_k от ориентации слоев кристалла относительно магнитного поля, положительным МС при $T < 7 \text{ K}$, а также появлением ОМС при $T > 7 \text{ K}$, что присуще двумерным системам [4].

Остаточное сопротивление образца 3 при $H=0$ также указывает на островковое распределение Pb в межслоевом промежутке. Преципитаты свинца при $T < T_c$ шунтируют сопротивление соседних слоев, понижая общее сопротивление образца, а величина $\rho_{\perp c}$ определяется незашунтированной частью слоев InSe. Разрушение сверхпроводящего состояния интеркалата магнитным полем снимает шунтирование. При $H > H_k$ сопротивление возрастает почти на 40% при $T=4.3 \text{ K}$ по сравнению с $H=0$ (см. штриховую линию на рис. 1).

Отметим, что критическое поле H_c свинца в массивном состоянии составляет $0.05T$ [8]. В нашем случае островковое распределение свинца в вандерваальсовских щелях InSe приводит к возрастанию H_c в 40 раз ($H_c \approx 2T$). Большие величины H_c характерны и для слоистых халькогенидов переходных металлов, которые связаны с их двумерным распределением в решетке, обуславливающим формирование узких d -зон с большими эффективными массами и малыми фермиевскими скоростями [9].

Об островковом распределении свинца свидетельствует тот факт, что в системе $\langle \text{Pb}, \text{Li} \rangle$ InSe свинец влияет в основном на $\sigma_{\parallel c}$ интеркалата, слабо влияя на $\sigma_{\perp c}$. Действительно, для резкого увеличения $\sigma_{\perp c}$ необходимо наличие сплошной «металлической» пленки интеркалянта, в то время как для резкого увеличения $\sigma_{\parallel c}$ достаточно лишь локализованных (островковых) скоплений «металлического» интеркалянта в достаточно большом количестве слоев [7].

Таким образом, проведенные исследования указывают на то, что электронный газ в InSe при низких температурах носит двумерный характер.

Впервые экспериментально установлено, что интеркаляция слоистых полупроводников сверхпроводящими металлами повышает размерность электронного газа при $T < T_c$, переводя его из двумерного в трехмерное состояние.

Л и т е р а т у р а

- [1] Kress-Rogers E., Nicholas R. J., Chevey A. J. Phys. C, 1983, vol. 16, N 12, p. 2439—2447.
- [2] Kress-Rogers E., Hopper G. F., Nicholas R. J., Hayes W., Portal J. C., Chevey A. J. Phys. C., 1983, vol. 16, N 21, p. 4285—4295.
- [3] Брандт Н. Б., Кульбачинский В. А., Ковалюк З. Д., Лашкарев Г. В. ФТП, 1987, т. 21, № 6, с. 1001—1004.
- [4] Альтшулер Б. Л., Аронов А. Г., Ларкин А. И., Хмельницкий Д. Е. ЖЭТФ, 1981, т. 81, № 2, с. 768—783.
- [5] Григорчук И. И., Ковалюк З. Д., Юрченко С. П. Изв. АН СССР, Неорган. матер., 1981, т. 17, № 3, с. 412—415.
- [6] Ковалюк З. Д., Пыря М. Н., Середюк А. И., Товстюк К. Д. Изв. АН СССР, Неорган. матер., 1985, т. 21, № 10, с. 1652—1655.
- [7] Ковалюк З. Д., Середюк А. И., Товстюк К. Д. ФТП, 1982, т. 16, № 11, с. 2061—2063.
- [8] Roberts B. W. Superconductive materials and their properties. Report № 63-RL-3252 M., 1963, New York. 98 p.
- [9] Сверхпроводимость в тройных системах / Под ред. М. Майнла и Э. Фишера. М.: Мир, 1985. 392 с.

Институт проблем
материаловедения АН УССР
Киев

Поступило в Редакцию
3 декабря 1987 г.

УДК 538.1

Физика твердого тела, том 30, в. 4, 1988
Solid State Physics, vol. 30, № 4, 1988

ОБ ОСНОВНОМ СОСТОЯНИИ МАГНИТНОГО ПОЛУПРОВОДНИКА В РАМКАХ ОДНОМЕРНОЙ РЕШЕТКИ АНДЕРСОНА

А. Ф. Барабанов, А. Ф. Михеенков

Будем рассматривать магнитный полупроводник с локализованными f -электронами в рамках одномерной невырожденной регулярной модели Андерсона [1, 2], пренебрегая прямым обменом между f -моментами. Такая модель, если отвлечься от одномерности, в первую очередь описывает антиферромагнитные полупроводники (АФМП) типа EuSe, EuTe с пренебрежимо малым перекрытием соседних f -оболочек [3]. Поскольку вопрос о структуре основного состояния решетки Андерсона, в том числе